

УДК 533.951

## МОДУЛЯЦИЯ ЭЛЕКТРОННОГО ПОТОКА СО СВЕРХПРЕДЕЛЬНЫМ ТОКОМ В СИСТЕМАХ С ПРОСТРАНСТВОМ ДРЕЙФА

В.П. Григорьев, Т.В. Коваль

Томский политехнический университет  
E-mail: grig@am.tpu.ru

*Рассматривается проблема фазовой модуляции электронного потока в виркаторах с дополнительным пространством дрейфа. Теория основана на параметрическом взаимодействии электронов с осцилляциями собственного потенциального поля пучка в нелинейной системе. Учитываются особенности систем с пролетными электронами, и исследуется наиболее оптимальный режим – критических параметров. При построении модели параметрического взаимодействия использованы результаты численного моделирования методом крупных частиц по формированию виртуального катода. Данный подход позволяет детально исследовать динамику электронов и механизм фазовой модуляции потока пролетных электронов в зависимости от параметров системы, что является необходимым при использовании таких пучков для создания мощных СВЧ-генераторов.*

### Введение

Генераторы электромагнитных колебаний на основе систем с виртуальным катодом (ВК) (отражательные триоды и виркаторы) привлекают широкое внимание в связи с их конструктивной простотой и возможностью получать достаточно высокие уровни мощности излучения. При этом в качестве источников излучения можно использовать как электроны, отраженные от ВК и осциллирующие в потенциальной яме, так и модулированный поток пролетных электронов [1–3]. Однако низкие эффективности излучения требуют более детального изучения механизмов взаимодействия электронов в таких системах и создания условий повышения эффективности излучения.

Механизм излучения в виркаторах и триодах с виртуальным катодом рассмотрен авторами [1, 2] с использованием методов кинетического уравнения. В работах [4, 5] исследовано возбуждение электромагнитных колебаний в триодах с ВК с точки зрения нелинейного параметрического взаимодействия электронов с собственным полем при колебаниях ВК. Такой подход позволил установить механизм модуляции электронного потока осциллирующих электронов выделить основные закономерности этого явления и определить уровень насыщения излучения в триодах с ВК.

В данной работе представлены результаты теоретического исследования фазовой модуляции электронного потока в виркаторах при параметрическом взаимодействии пролетных электронов с колебаниями потенциала собственного поля пучка. При этом

рассмотрен наиболее интересный случай – критических параметров, когда основной поток электронов связан с пролетными электронами, ток которых (предельный ток) существенно зависит от энергии электронов и геометрии пространства дрейфа. Модель параметрического взаимодействия построена с использованием результатов численного моделирования формирования виртуального катода методом крупных частиц и аналитических оценок.

### Численное моделирование

Рассмотрим систему (рис. 1), помещенную в металлическую цилиндрическую камеру радиуса  $R_c$  высотой  $h$ , включающую ускоряющий диод – К-А1 и пространства дрейфа: (I) – А1-А2 между анодами  $l_1$  и (II) – А2-С между вторым анодом и коллектором. Аноды являются прозрачными для электронов с геометрической прозрачностью  $\chi$  ( $0 \leq \chi \leq 1$ ). Промежутки (I) и (II) подбирались из условия малости числа отраженных электронов по сравнению с пролетными.

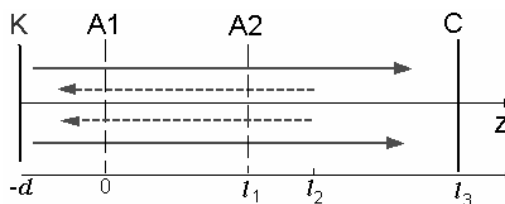


Рис. 1. Схема движения частиц в виркаторе

Используя метод крупных частиц и модели [6, 7] проведем численное исследование динамики формирования ВК и движения электронов в представлен-

ной системе в режиме эмиссии. Из анализа численных расчетов следует, что полное прохождение тока в пространстве дрейфа длиной  $L < R_c$  происходит за счет экранировки пространственного заряда пучка торцевыми металлическими стенками. При высокой прозрачности анодов  $\chi \sim 1$  это имеет место для  $L \leq 2\sqrt{2}$ , если ток пучка  $I_c$  не превышает критического [8].

$$I_c = \frac{\gamma_0 m c^3}{e} \frac{r_b}{2(d + l_1)}, \quad (1)$$

где  $m$  и  $e$  – масса и заряд электрона,  $c$  – скорость света,  $\gamma_0$  – относительная энергия,  $r_b$  – радиус пучка,  $d$  – диодный зазор.

В противном случае существенным оказывается влияние собственного магнитного поля пучка, приводящее к его фокусировке, увеличению плотности тока пучка и дополнительным потерям пролетных электронов. Эффект пинчевания электронного потока отражает рис. 2 для параметров численного эксперимента: ускоряющее напряжение 800 кВ,  $r_b = 3$  см,  $d = 2$  см. Ток электронного пучка  $I_b = 14,5$  кА превышает  $I_c = 13,3$  кА (1), и проявляется эффект пинчевания пучка собственным магнитным полем  $H_\varphi$ . Численные расчеты показывают, что с уменьшением радиуса катода этот эффект сильно ослабляется и при  $I_b < I_c$  практически не проявляется.

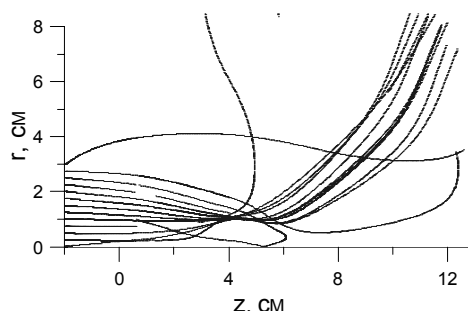


Рис. 2. Траектории электронов пучка при  $I_b < I_c$

Для прозрачности анода  $\chi < 1$ , приводящей к заметным потерям электронов на аноде, и тока пучка  $I_b < I_c$  полное прохождение пучка в пространстве дрейфа наблюдается при

$$L \leq 2\sqrt{2} (r_{Dk} / \Gamma), \quad (2)$$

где  $r_{Dk} = \gamma_0^{1/2} \left( \frac{v_0}{\omega_{ek}} \right)$ ,  $v_0$  – скорость электронов на

аноме,  $\omega_{ek} = (4\pi n_{ek} e / m_0)^{1/2}$ ,  $n_{ek}$  – средняя плотность электронов вблизи  $k$ -го анода ( $k=1,2$ ),  $\Gamma \leq 1$  – коэффициент редукции, характеризующий ослабление поля пространственного заряда за счет экранировки металлическими стенками и зависящий от геометрии пучка и пространства дрейфа. В частности, для трубчатых пучков с внутренним радиусом  $r_1$  и внешним  $r_2$  зависимость  $\Gamma$  от параметров системы имеет вид [6]:

$$\Gamma = \left[ \frac{\left(0,25 + \ln \frac{R_c}{r_2}\right) r_2^2 - \left(0,25 + \ln \frac{R_c}{r_1}\right) r_1^2}{\left(0,25 + \ln 3\right) r_2^2 - \left(0,25 + \ln \frac{3r_2}{r_1}\right) r_1^2} \right]^{1/3}. \quad (3)$$

С увеличением  $L$  влияние торцов ослабляется, формируется виртуальный катод.

Для электронного пучка с конечными поперечными размерами потенциал зависит от радиуса таким образом, что наибольшее провисание потенциала и торможение электронов собственным полем имеет место на оси пучка,  $r=0$ . Приближенно эту зависимость можно описать функцией Бесселя  $J_0(\mu_{01} r / R_c)$ , где  $\mu_{01}$  – первый корень функции Бесселя ( $J_0(\mu_{01})=0$ ). Минимум потенциала, его значение и координата имеют периодическую зависимость от времени с частотой  $\omega_k$ , зависящей от энергии электронов и геометрии пространства дрейфа ( $\omega_k \approx \omega_{ek}$ ).

Анализ динамики электронного пучка в поле пространственного заряда и формирования виртуального катода показывает, что в зависимости от выбора геометрических размеров и ускоряющего напряжения могут быть реализованы различные режимы генерации электромагнитного излучения.

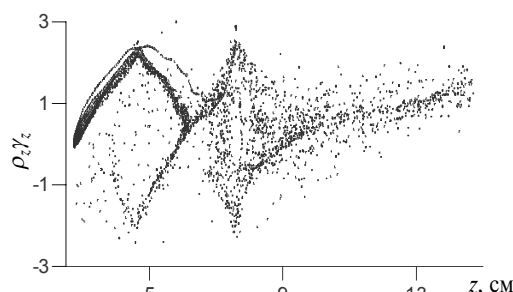


Рис. 3. Фазовый портрет электронного пучка при формировании двух виртуальных катодов

В частности можно сформировать два виртуальных катода (рис. 3) и осуществить генерацию электромагнитных колебаний на нескольких частотах. Такие режимы генерации на осциллирующих электронах подробно исследованы в работах [7, 9]. Поэтому мы не будем на них останавливаться, а рассмотрим условия повышения эффективности генерации электромагнитных колебаний на пролетных электронах [3] в режиме критических параметров.

При таком режиме в пространстве дрейфа – I формируется провисание потенциала без образования виртуального катода, а в пространстве дрейфа – II виртуальный катод образуется только в приосевой области пучка,  $r \sim 0$ . На радиусах отличных от нуля при этом имеет место глубокое провисание потенциала, но без образования виртуального катода. Для выбранного режима (рис. 4) характерно появление некоторого числа отраженных электронов в приосевой области пучка и значительный поток пролетных электронов.

Наличие ВК и отраженных электронов обеспечивают появление колебаний минимума потенциала, необходимых для осуществления параметрического взаимодействия и фазовой модуляции пролетных электронов в пространствах дрейфа. При этом колебания потенциала в промежутках A1-A2 и A2-C происходят на одной частоте  $\omega$ , но со сдвигом по фазе, обусловленным конечным временем пролета отраженными электронами расстояния

$l_2 - l_1/2$ . В этом случае дополнительное пространство дрейфа играет роль предварительного модулятора, где электронный пучок под действием периодического потенциала слабо модулируется на частоте  $\omega$ .

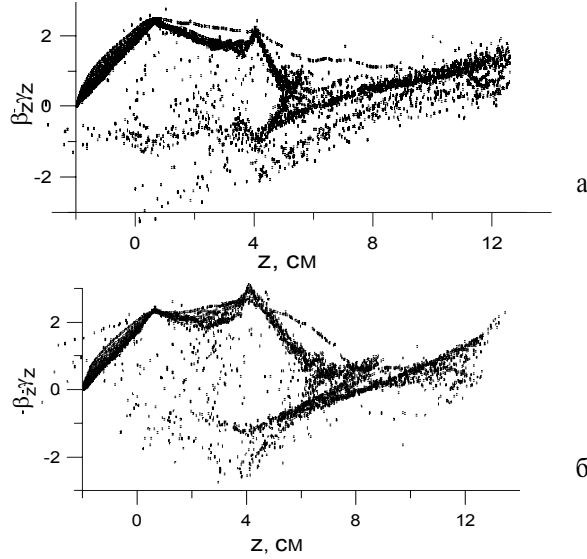


Рис. 4. Фазовые портреты электронного пучка в моменты времени, отличающиеся на  $t = \pi/\omega$

#### Параметрическое взаимодействие

Результаты численного моделирования, проведенные методом крупных частиц, наряду с раскрытием общей картины динамики электронного потока позволяют с большой степенью точности представить потенциал собственного поля пучка в аналитическом виде. На основе этого можно построить модель, описывающую параметрическое взаимодействие электронов пучка с колебаниями потенциала в представленной системе, объяснить механизм фазовой модуляции и определить параметры, контролируемые этот процесс.

Из анализа приведенных выше результатов и рис. 4 представим потенциал электрического поля в различных областях пространства дрейфа в следующем виде:

$$U(z, t) = \begin{cases} -\frac{U_1}{2} [1 - b_1 \cos(\omega t + \varphi_1)] \{1 - \cos(a_1 z)\}, & 0 \leq z \leq l_1, \\ -\frac{U_2}{2} \left\{ 1 - \cos \left[ a_2 (z - l_1) \times \right. \right. \\ \quad \left. \left. \times \left( 1 - \frac{\alpha}{\Delta l_2} \cos(\omega t + \varphi_2) \right) \right] \right\}, & l_1 \leq z \leq \tilde{l}_2, \\ -\frac{U_2}{2} \left\{ 1 - \cos \left[ a_3 (z - l_3) \times \right. \right. \\ \quad \left. \left. \times \left( 1 - \frac{\alpha}{\Delta l_3} \alpha \cos(\omega t + \varphi_2) \right) \right] \right\}, & \tilde{l}_2 \leq z \leq l_3, \end{cases} \quad (4)$$

где  $U_{1,2}$  – глубина провисания потенциала в соответствующем пространстве дрейфа,  $U_1 b_1$  – амплитуда ко-

лебания глубины провисания потенциала в первой области на частоте  $\omega$ ,  $\alpha$  – амплитуда колебаний координаты минимума потенциала в пространстве дрейфа – (II),  $\varphi_{1,2}$  – начальные фазы, постоянные  $a_i = \pi/\Delta l_i$  определяют пространственный масштаб неоднородности потенциала в соответствующей области,  $\Delta l_i = l_i - \Delta l_{i-1}$ ,  $l_0 = l_1/2$ ,  $\tilde{l}_2 = l_1 - \alpha \cos(\omega t + \varphi_2)$ . Распределение потенциала в диодном промежутке в общем случае описывается функцией  $\Psi(z)$  [8]. В нерелятивистском приближении  $\Psi(z)$  сводится к известному закону Чайлда-Ленгмюра  $\Psi(z) = (z/d)^{4/3}$ . Потенциал (4) определяет движение электронов в пространстве дрейфа. При  $U(z, t) > mc^2(\gamma - 1)$  происходит захват электронов с относительной энергией  $\gamma$  в потенциальную яму, и мы имеем облако осциллирующих электронов, при  $U(z, t) < mc^2(\gamma - 1)$  – электроны с относительной энергией  $\gamma$  являются пролетными.

При  $I_b < I_c$ , когда в диоде не проявляется пинчевание пучка, движение электронов в диоде слабо влияет на взаимодействие пучка в пространстве дрейфа. Поэтому, не теряя общности, рассмотрим движение электронов в пространстве дрейфа А1-С при их инжекции с сеточного анода – А1 с энергией  $eU_0$ . В этом случае релятивистское движение электронов с различными фазами в собственном поле пространственного заряда (4) в безразмерной переменной  $x = z/d$  описывается следующими уравнениями:

$$\ddot{x} = -\Omega_i^2 B_i(t) \sin[(da_i) A_i(t)x] - K \dot{x}^2 \ddot{x}. \quad (5)$$

Первое слагаемое в правой части (4) связано с силой поля пространственного заряда, действующей на электроны в различных областях пространства дрейфа ( $i=1, 2, 3$ ), а второе обусловлено релятивистскими эффектами с коэффициентом нелинейности

$$K = \frac{\pi}{2} \frac{e U_i}{m_0 \gamma_0 c^2} \frac{a_i d^2}{\Delta l_i}.$$

В представленном виде уравнения движения в области параметров  $a_i z \ll 1$  переходит в классическое уравнение, описывающее параметрическое взаимодействие линейного осциллятора со слабой нелинейностью [9]. При больших значениях  $a_i z$  – это взаимодействие в нелинейной колебательной системе с собственными частотами,

$$\Omega_i = \left( \frac{e U_i}{2 m_0 \gamma_0 c^2} \frac{a_i}{d} c^2 \right)^{1/2},$$

зависящими от геометрии системы, ускоряющего напряжения и уровня провисания потенциала. Модуляция частоты, обусловленная колебаниями минимума потенциала и обеспечивающая параметрическое взаимодействие, описывается функциями  $B_i(t) = [1 - b_i \cos(\omega t + \varphi_i)]$ . Здесь обозначено  $A_1 = 1$ ,  $A_2 = B_2(t)$ ,  $A_3 = B_3(t)$ ,  $U_3 = U_2$ ,  $b_2 = \alpha/\Delta l_2$ ,  $b_3 = \alpha/\Delta l_3$ ,  $\tilde{x}_1 = (z - l_0)/d$ ,  $\tilde{x}_2 = \tilde{x}_3 = (z - l_2)/d$ .

Результаты численного интегрирования уравнений (5) для электронов с различными фазами приведены на рис. 5. Из поведения траекторий электронов не трудно заметить, что при прохождении электронами пространства дрейфа имеет место их

группировка. Эта группировка связана с тем, что электроны при различных моментах инжекции, определяющих фазу электрона относительно колебаний провисания потенциала, движутся в различных распределениях потенциала. В результате их время пролета данного промежутка дрейфа изменяется и происходит их сдвиг по фазе, что приводит к модуляции электронного потока при одинаковой энергии электронов  $\gamma_0$  на выходе пространства дрейфа.

Следует указать, что в отличие от параметрического взаимодействия осциллирующих электронов с колебаниями виртуального катода [4, 5], время взаимодействия пролетных электронов с колебаниями минимума потенциала ограничено очень малым временем пролета промежутка дрейфа. Из-за этого модуляция электронного потока в обычном виркаторе является достаточно слабой [7]. В рассматриваемой системе глубокая модуляция достигается за счет увеличения времени взаимодействия электронов с потенциалом при использовании дополнительного промежутка дрейфа — A1. Действительно, в первом пространстве дрейфа — A1 в результате параметрического взаимодействия пучка с колебаниями минимума потенциала имеет место предварительная модуляция электронного потока, а в области (A2-C), где без особых усилий можно обеспечить более глубокое провисание потенциала происходит усиление модуляции.

Зависимость глубины модуляции электронного потока от уровня провисания потенциала отражена на рис. 5, где представлены распределения потенциала и траектории электронов в различных режимах. Более глубокое провисание достигается повышением тока в пространстве дрейфа. Из сравнения графиков следует, что при более глубоком провиса-

нии потенциала (рис. 5, б) эффективность модуляции потока возрастает.

Отметим, что приведенные выше результаты получены при отсутствии внешней электромагнитной волны, эквивалентной обратной связи в реальных приборах. Это означает, что модуляция электронного пучка в виркаторе в основном обусловлена взаимодействием электронов с полем пространственного заряда. Поэтому использование внешней электромагнитной волны в качестве активной обратной связи, для осуществления дополнительной модуляции, требует согласования параметров волны и потенциального поля. В противном случае эти механизмы могут оказаться конкурирующими, что будет подавлять модуляцию пучка и, следовательно, его мощность излучения в резонансной системе.

### Выводы

1. Модуляция электронного потока в виркаторе обусловлена параметрическим взаимодействием электронов с колебаниями потенциала собственного поля пространственного заряда.
2. Глубина модуляции определяется временем взаимодействия пролетных электронов с колебаниями потенциала и уровнем провисания потенциала в промежутке дрейфа.
3. Зависимость времени взаимодействия и уровня провисания потенциала от параметров системы дает возможность при выборе ускоряющего напряжения и геометрии пространства дрейфа создать наиболее благоприятные условия для модуляции электронного потока.
4. Усиление модуляции можно достичь за счет увеличения времени взаимодействия при организации дополнительного пространства дрейфа.

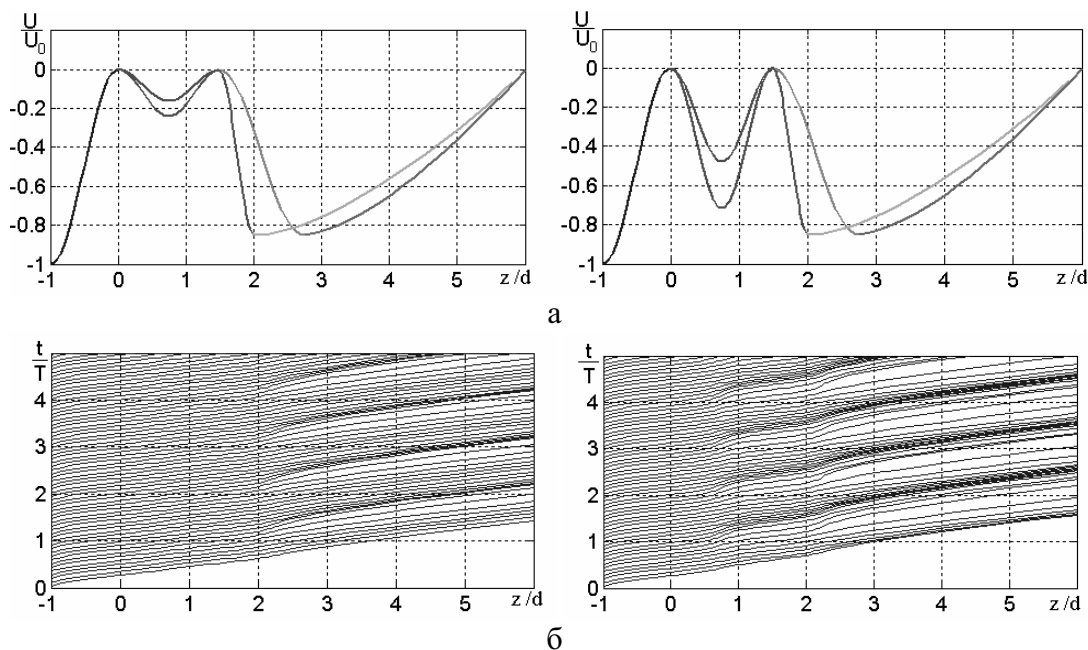


Рис. 5. Распределения: а) потенциалов и б) соответствующие им траектории электронов

## СПИСОК ЛИТЕРАТУРЫ

1. Григорьев В.П., Коваль Т.В. Теория генерации электромагнитных колебаний в системах с виртуальным катодом // Известия вузов. Физика. – 1998. – № 4. – С. 168–182.
2. Диденко А.Н., Григорьев В.П., Жерлицын А.Г. Генерация электромагнитных в системах с виртуальным катодом // В кн.: Плазменная электроника / Под ред. В.И. Курилко. – Киев: Наукова думка, 1989. – С. 112–131.
3. Kitsanov S.A., Klimov A.I., Korovin S.D., Kurkan I.K. et al. A Vircator With Electron Beam Premodulation Based on High-Current Repetitively Pulsed Accelerator // IEEE Trans. Plasma Science. – 2002. – V. 30. – № 1. – P. 274–285.
4. Коваль Т.В. Излучение потока осциллирующих электронов при возбуждении параметрических колебаний // Известия вузов. Физика. – 1997. – № 10. – С. 103–106.
5. Григорьев В.П., Коваль Т.В., Козловских А.В. Возбуждение параметрических колебаний в триоде с виртуальным катодом при наличии внешней электромагнитной волны // Известия вузов. Физика. – 2000. – № 2. – С. 76–81.
6. Григорьев В.П., Ильин В.П., Коваль Т.В. и др. Численное исследование формирования виртуального катода при инжекции сверхпределных токов в цилиндрическую трубу дрейфа // Математическое моделирование. – 1991. – Т. 3. – № 8. – С. 14–20.
7. Антошкин М.Ю., Григорьев В.П., Коваль Т.В. Численное исследование динамики релятивистского электронного потока с виртуальным катодом // Радиотехника и электроника. – 1992. – Т. 37. – № 6. – С. 1115–1120.
8. Миллер Р. Введение в физику сильноточных пучков заряженных частиц. – М.: Мир, 1984. – 432 с.
9. Григорьев В.П., Жерлицын А.Г., Коваль Т.В. Исследование двухчастотного режима излучения в виркаторе с магнитоизолированным диодом // Физика плазмы. – 1990. – Т. 16. – № 11. – С. 1353–1358.
10. Боголюбов Н.Н., Митропольский Ю.А. Асимптотические методы в теории нелинейных колебаний. – М.: Наука, 1974. – 504 с.